

Biodegradación de polietileno de baja densidad (PEBD) por hongos aislados de suelo de relleno sanitario

Enrique Sebastián Garay Morínigo D, Carlos Mendes Picoli D, Gabriela Rocío Sosa Benegas D

Resumen — Este estudio investigó la capacidad de hongos aislados de un relleno sanitario en Ciudad del Este, Paraguay, para biodegradar el polietileno de baja densidad (PEBD), un plástico persistente en el ambiente. Se recolectaron muestras de suelo, se caracterizaron hongos, y se prepararon discos de PEBD para las pruebas de biodegradación. Los resultados mostraron que diferentes especies de hongos pueden degradar el PEBD en diversos grados. De los siete hongos aislados, la cepa 4M6 demostró la mayor capacidad de biodegradación (2.74% de reducción de peso). Sin embargo, la biodegradación observada fue relativamente baja, lo que sugiere que el proceso es lento y podría requerir optimización o estrategias complementarias para aplicaciones a gran escala. El estudio concluye que, si bien los hongos del relleno sanitario tienen potencial para degradar el PEBD, se necesita más investigación para mejorar la eficiencia del proceso.

Palabras clave— Biodegradación, residuos plásticos, hongos, polietileno de baja densidad, relleno sanitario.

Abstract — This study investigated the ability of fungi isolated from a landfill in Ciudad del Este, Paraguay, to biodegrade low-density polyethylene (LDPE), a persistent plastic in the environment. Soil samples were collected, fungi were isolated and characterized, and LDPE discs were prepared for biodegradation testing. The results showed that different fungal species can degrade LDPE to varying degrees. Of the seven isolated fungi, strain 4M6 demonstrated the highest biodegradation capacity (2.74% weight reduction). However, the observed biodegradation was relatively low, suggesting that the process is slow and may require optimization or complementary strategies for large-scale applications. The study concludes that while landfill fungi have the potential to degrade LDPE, further research is needed to improve the efficiency of the process.

Keywords— Biodegradation, plastic waste, fungi, lowdensity polyethylene, landfill.

I. INTRODUCCIÓN

os desechos plásticos representan una de las mayores preocupaciones ambientales de la actualidad debido a su persistencia en el medio ambiente y su creciente acumulación en ecosistemas terrestres y acuáticos, hasta el año 2015 se han producido 8300 millones de toneladas de plástico virgen, de los cuales aproximadamente 79% han terminado en vertederos o en el medio ambiente, mientras que solo el 12% ha sido reciclado y 9% incinerado (Geyer et al., 2017). Esta acumulación de desechos plásticos genera impactos negativos como la contaminación de suelos y cuerpos de agua, ingesta por animales lo que puede introducir químicos tóxicos en la cadena alimenticia y contaminación visual del entorno (Napper & Thompson, 2023).

Innumerables microorganismos aislados de vertederos y rellenos sanitarios han demostrado la capacidad de biodegradar un amplio número de polímeros plásticos, entre los cuales los hongos destacan como los candidatos superiores (Khatua et al., 2024). El polietileno de baja densidad (PEBD) es uno de los polímeros plásticos más resistentes a la biodegradación, debido a su carácter inerte y su baja susceptibilidad a la acción microbiana (Albertsson et al., 1987). Se utiliza principalmente en la fabricación de bolsas y envoltorios, y su resistencia a la descomposición natural lo convierte en un contaminante persistente en el ambiente. Sin embargo, diversos estudios han demostrado que hongos de los géneros Aspergillus, Penicillium, Fusarium, Cladosporium, entre otros, son capaces de adherirse a su superficie y secretar enzimas que inician su degradación (Ghatge et al., 2020). En Paraguay, solo el 29% del polietileno de baja densidad (PEBD) utilizado como envase es reciclado (Manuel, Ferreira et al., 2022), lo que agrava su impacto ambiental y representa una problemática creciente a nivel nacional.

II. MATERIALES Y MÉTODOS

Recolección de muestras y zona de estudio

Muestras de suelo fueron obtenidas del relleno sanitario de Ciudad del Este con las coordenadas 25°33'08.8"S 54°43'50.9"W. Un total de 10 muestras de aproximadamente 100 gramos fueron recogidas con una profundidad entre 5 a 10 cm, en bolsas estériles (3MTM, España). La colecta se realizó con auxilio de una pala previamente desinfectada. Luego las muestras fueron acondicionadas de 4°C a 10 °C en conservadoras para su posterior transporte al laboratorio.

Enviado 19/09/2025 Aceptado; 30/09/2025

E. G. Autor, Universidad Católica Nuestra Señora de la Asunción Campus Alto Paraná. Ciudad del Este, Paraguay. enriquegara69@gmail.com. C. M. Autor, Universidad Católica Nuestra Señora de la Asunción Campus Alto Paraná. Nueva Esperanza, Paraguay. G. B. Autor, Universidad Católica Nuestra Señora de la Asunción Campus Alto Paraná. Hernandarias, Paraguay.

Aislamiento de hongos

Siguiendo la metodología descrita por (Saira et al., 2022) para el aislamiento de hongos, fueron suspendidos 10 gramos de cada muestra de suelo en 100 mL de agua destilada estéril, luego las suspensiones fueron introducidas en una agitadora orbital (IKA KS 3000i, USA) en las condiciones: 15 minutos, 150 rpm y 25 °C. Seguidamente se tomaron 0.1 mL de cada suspensión v se realizó la siembra en placas de medio sólido conteniendo: Sabouraud Dextrosa Agar (CONDA, España) con 2 mL de gentamicina 400 mg/10 mL. Las placas fueron incubadas a 30 °C durante 72 horas (Pietikäinen et al., 2005). Tras el crecimiento de diversas especies fúngicas en las placas de cultivo, se realizaron subcultivos sucesivos en placas de Sabouraud Dextrosa Agar (SDA) utilizando un asa de siembra, con el objetivo de obtener cultivos puros. Todo el procedimiento se llevó a cabo dentro de una campana de flujo laminar (AirClean®, USA) para garantizar condiciones estériles y evitar contaminaciones (Coté, 1998).

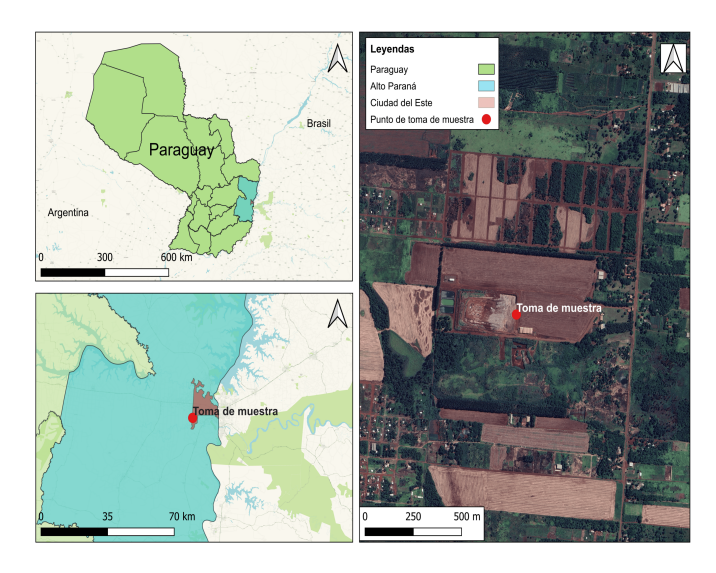


Fig. 1. Mapas y vista aérea de la ubicación del sitio de toma de muestras de suelo para aislamiento de hongos. Fuente: Autor del trabajo.

Caracterización morfológica macroscópica de los hongos

Los cultivos fúngicos purificados obtenidos en la etapa anterior fueron examinados macroscópicamente con el objetivo de registrar las características morfológicas de sus colonias (Cepero de García et al., 2012). Se evaluaron aspectos como el color frontal y reverso, la textura y topografía de las colonias en agar Sabouraud dextrosa (SDA). Estas observaciones permitieron diferenciar los distintos morfotipos y establecer la presencia de especies fúngicas únicas dentro de las muestras analizadas.

Medios y químicos

Medio mínimo de glucosa (MMG) descrito por Bailes et al., (2013), con composición: 6.0gr/L NaNO3 (Biopack®, Argentina), 0.52 gr/L KCl (Biopack®, Argentina), 0.52 gr/L MgSO4*7H2O (Biopack®, Argentina), 1.52 gr/L KH2PO4 (Biopack®, Argentina), 10.0gr/L Glucosa (Biopack®, Argentina). Saboraud Dextrosa Agar (CONDA, España), Caldo

de Peptona (3MTM, España).

Preparación del polietileno de baja densidad (PEBD)

De una bolsa plástica de polietileno de baja densidad fueron cortados discos de 25 mm de diámetro, estos discos fueron desinfectados utilizando alcohol etílico 70%, luego fueron llevados a una campana de flujo laminar (AirClean®, USA) donde fueron expuestos a luz ultravioleta durante 1 minuto para desinfectarlos. Posteriormente los discos fueron agrupados en tandas, cada tanda teniendo 3 discos de plástico, las tandas fueron pesadas en una balanza analítica (Boeco BAS 31 plus, Alemania) (Saira et al., 2022).



Fig. 2. Cultivos fúngicos purificados en medio Saboraud Dextrosa Agar (SDA). Superior izquierda: 4M6. Superior centro: 5M6. Superior derecha:
2M3. Centro izquierda: 4M3. Centro: 2M6. Inferior izquierda: 1M1. Inferior derecha: 1M8. Fuente: Autor del trabajo.

Biodegradación de polietileno de baja densidad (PEBD) por hongos aislados

El proceso de biodegradación se llevó a cabo en dos etapas. En la primera, se tomaron inóculos de siete cultivos fúngicos puros en placas de Petri y se transfirieron a frascos GL45 que contenían 100 mL de caldo de peptona. Estos cultivos fueron incubados durante una semana para permitir su adaptación al medio líquido. En la segunda etapa, se tomó 50 mL de cada cultivo líquido y se inoculó en matraces Erlenmeyer que contenían 100 mL de medio mínimo de glucosa (MMG) junto con una tanda de discos plásticos descrita en la sección ''Preparación del polietileno de baja densidad (PEBD)''. Método modificado de Bailes et al., (2013).

Como control negativo, se preparó un matraz Erlenmeyer con 100 mL de medio mínimo de glucosa (MMG) y una tanda de discos plásticos, pero sin la adición de inóculo fúngico (Ojha et al., 2017).

A continuación, los frascos fueron incubados en un cuarto oscuro con una agitadora orbital (IKA KS 3000i, USA) durante 71 días a 150 rpm y 30 °C (Saira et al., 2022). Una vez transcurrido el tiempo las tandas de discos plásticos fueron colectadas y lavadas usando abundante agua destilada, un mezclador vórtice (SITM Vortex Genie 2, USA) y un sonicador (Elma® Elmasonic Select 100, Alemania) (Bailes et al., 2013). Una vez limpios los discos plásticos fueron secados en una estufa (WPL-45BE, China) a 30 °C durante 2 días y fue medido su peso final usando una balanza analítica (Boeco BAS 31 plus, Alemania) (Usha et al., 2011). El porcentaje de la pérdida de peso fue calculado usando la fórmula debajo, citada por Saira et al., (2022).

% disminución del peso del plástico = $\frac{R_1 - R_2}{R_1} \times 100$

III. RESULTADOS Y DISCUSIÓN

Se aislaron un total de siete hongos diferentes a partir de las muestras de suelo obtenidas del relleno sanitario. La identificación de las siete especies fúngicas fue basada en características morfológicas macroscópicas como color, textura y forma.

Tabla 1. Morfología macroscópica de hongos aislados de relleno anitario.

Sanitario.						
Código de especie	Color de frente	Color de reverso	Textura	Topografía		
1M1	Verde grisáceo	Beige	Polvorienta	Plana		
1M8	Blanco con bordes amarillos	Amarillo	Polvorienta	Amontonada		
2M3	Crema	Granate	Aterciopelada	Plegada		
2M6	Blanco	Amarillo	Aterciopelada	Plegada		
4M3	Marrón	Beige	Polvorienta	Plana		
4M6	Amarillo	Naranja	Aterciopelada	Plegada		
5M6	Blanco	Amarillo	Aterciopelada	Plegada		

La evaluación de la biodegradación del plástico por las especies fúngicas aisladas mostró variaciones en la pérdida de peso del material. Los porcentajes de biodegradación obtenidos fueron los siguientes: 1M1 logró una reducción del 0.19%, 1M8 alcanzó un 0.52%, 2M3 alcanzó un 1.07%, 2M6 obtuvo un 0.13%, 4M3 logró un 1.06%, 4M6 mostró el mayor porcentaje con un 2.74%, y 5M6 presentó un 1.12%. En comparación, el control presentó una reducción del 0.61%.

Los resultados obtenidos en este estudio evidencian que los hongos aislados del suelo de un relleno sanitario tienen la capacidad de degradar polietileno de baja densidad (PEBD) en distintas proporciones. Se observaron variaciones en la biodegradación entre las especies evaluadas, destacándose la cepa 4M6 con la mayor reducción de peso del material plástico (2.74%). Sin embargo, la comparación con el control, que presentó una reducción del 0.61%, sugiere que otros factores

como el pH del medio o fotooxidación por luz ultravioleta (Yamada-Onodera et al., 2001) utilizada para esterilizar el material también podrían contribuir a la disminución del peso del polietileno de baja densidad (PEBD) y al comparar los resultados de nuestro control con otros estudios similares, se observa que en muchos casos no se reporta pérdida de peso en los controles sin microorganismos. A pesar de que algunos hongos mostraron una ligera capacidad de degradación, los valores obtenidos indican que el proceso es lento y posiblemente insuficiente para aplicaciones a gran escala sin tratamientos previos o condiciones optimizadas. Esto refuerza la necesidad de explorar estrategias complementarias, como la fotooxidación, para mejorar la eficiencia del proceso de biodegradación del polietileno de baja densidad (PEBD) (Albertsson et al., 1987).

Tabla 2. Reducción de peso de los discos de polietileno de baja densidad en términos de porcentaje de pérdida de peso antes y

después de la inoculación con hongos.

Código de especie	Peso inicial (mg)	Peso final (mg)	Pérdida de peso (mg)	Porcentaje de pérdida de peso (%)
1M1	53.5	53.4	0.1	0.19
1M8	77.2	76.8	0.4	0.52
2M3	56.2	55.6	0.6	1.07
2M6	78.0	77.9	0.1	0.13
4M3	56.3	55.7	0.6	1.06
4M6	29.2	28.4	0.8	2.74
5M6	26.8	26.5	0.3	1.12
Control	65.5	65.1	0.4	0.61

IV. AGRADECIMIENTOS

Expresamos nuestro sincero agradecimiento al equipo del Laboratorio de Agua y Sedimentos de la División de Embalse de Itaipu Binacional, quienes con su guía, colaboración, apoyo y constante aliento hicieron posible la realización de esta investigación. Su orientación y confianza fueron fundamentales para superar los desafíos del proceso y llegar a la culminación de este trabajo.

REFERENCIAS

Albertsson, A.-C., Andersson, S. O., & Karlsson, S. (1987). The mechanism of biodegradation of polyethylene. Polymer Degradation and Stability, 18(1), 73-87. https://doi.org/10.1016/0141-3910(87)90084-X

Bailes, G., Lind, M., Ely, A., Powell, M., Moore-Kucera, J., Miles, C., Inglis, D., & Brodhagen, M. (2013). Isolation of native soil microorganisms with potential for breaking down biodegradable plastic mulch films used in agriculture. Journal of Visualized Experiments: JoVE, 75, e50373. https://doi.org/10.3791/50373

Cepero de García, M. C., Restrepo Restrepo, S., & Franco-Molano, A. E. (Eds.). (2012). Biología de hongos (1. ed). Universidad de los Andes.

Coté, R. J. (1998). Aseptic Technique for Cell Culture. Current Protocols in Cell Biology, 00(1), 1.3.1-1.3.10. https://doi.org/10.1002/0471143030.cb0103s00

Geyer, R., Jambeck, J. R., & Law, K. L. (2017). Production, use, and fate of all plastics ever made. Science Advances, 3(7), e1700782. https://doi.org/10.1126/sciadv.1700782

Ghatge, S., Yang, Y., Ahn, J.-H., & Hur, H.-G. (2020). Biodegradation of polyethylene: a brief review. Applied Biological Chemistry, 63(1), 27. https://doi.org/10.1186/s13765-020-00511-3

Khatua, S., Simal-Gandara, J., & Acharya, K. (2024). Mycoremediation of plastic pollution: current knowledge and future prospects. Biodegradation, 35(3), 249-279. https://doi.org/10.1007/s10532-023-10053-2

Manuel, Ferreira, Dominica, Zubizarreta, Alfredo, Pereira, Victoria, Echagüe, Federico, Gomez Guisoli, Leila Schein (Kolibri), Carolina Perez Guzman (Kolibri), & German Pinasco (Consultor independiente por Kolibri). (2022). Diagnóstico del Metabolismo de la Economía Paraguaya [Técnico]. Fundación Moisés Bertoni. https://mbertoni.org.py/publicaciones/

Napper, Imogen & Thompson, R.C.. (2023). Plastics and the Environment. Annual Review of Environment and Resources. 48. 55-79. 10.1146/annurev-environ-112522-072642

Ojha, N., Pradhan, N., Singh, S., Barla, A., Shrivastava, A., Khatua, P., Rai, V., & Bose, S. (2017). Evaluation of HDPE and LDPE degradation by fungus, implemented by statistical optimization. Scientific Reports, 7(1), 39515. https://doi.org/10.1038/srep39515

Pietikäinen, J., Pettersson, M., & Bååth, E. (2005). Comparison of temperature effects on soil respiration and bacterial and fungal growth rates. FEMS Microbiology Ecology, 52(1), 49-58. https://doi.org/10.1016/j.femsec.2004.10.002

Saira, Abdullah, Maroof, L., Iqbal, M., Farman, S., Lubna, & Faisal, S. (2022). Biodegradation of Low-Density Polyethylene (LDPE) Bags by Fungi Isolated from Waste Disposal Soil. Applied and Environmental Soil Science, 2022(1), 8286344. https://doi.org/10.1155/2022/8286344

Usha, Rajamanickam & Sangeetha, T & Muthusamy, Palaniswamy. (2011). Screening of Polyethylene Degrading Microorganisms from Garbage Soil. Libyan Agriculture Research Center Journal International. 2.

Yamada-Onodera, K., Mukumoto, H., Katsuyaya, Y., Saiganji, A., & Tani, Y. (2001). Degradation of polyethylene by a fungus, Penicillium simplicissimum YK. Polymer Degradation and Stability, 72(2), 323-327. https://doi.org/10.1016/S0141-3910(01)00027-1